

СМЕСИ ПОЛИМЕРОВ

УДК 541.64:539.3

СТРУКТУРА И СВОЙСТВА НАНОКОМПОЗИТОВ ПОЛИПРОПИЛЕНА
С ПОЛИВИНИЛОВЫМ СПИРТОМ, ПОЛУЧЕННЫХ
МЕТОДОМ КРЕЙЗИНГА

© 2023 г. А. Ю. Ярышева^{a,*}, А. А. Звонова^a, П. М. Тюбаева^b, Д. В. Багров^c,
Л. М. Ярышева^a, О. В. Аржакова^a

^aМосковский государственный университет имени М.В. Ломоносова.
Химический факультет 119991 Москва, Ленинские горы, Россия

^bЭкономический университет им. Г.В. Плеханова
117997 Москва, Стремянный пер., 36, Россия

^cМосковский государственный университет имени М.В. Ломоносова.
Биологический факультет 119991 Москва, Ленинские горы, Россия

*e-mail: alyonusha@gmail.com

Поступила в редакцию 04.02.2023 г.

После доработки 13.03.2023 г.

Принята к публикации 23.04.2023 г.

На основе пленок ПП, деформируемых в растворах ПВС по механизму крейзинга, получены новые полимер-полимерные нанокомпозиты. Методами АСМ, ДСК, гравиметрии, механических испытаний, измерения краевых углов смачивания и объемной пористости исследованы механизм деформации ПП в растворах ПВС, структура, состав, теплофизические свойства и смачиваемость композитов. Степень растяжения ПП и концентрация ПВС в растворе позволяют контролировать состав нанокомпозитов. Содержание ПВС может достигать 45 мас. % при степени вытяжки ПП 300%. После удаления летучей жидкой среды ПВС кристаллизуется в затрудненном пространстве мезопористой матрицы ПП с понижением степени кристалличности до 12–14%. Введение гидрофильного компонента приводит к улучшению смачивания ПП, и краевой угол снижается с 98° для исходного ПП до 42° для композита. Гидрофилизацию с использованием явления крейзинга можно рассматривать как способ модификации, переработки и вторичного использования крупнотоннажного полимера.

DOI: 10.31857/S2308112023700475, EDN: ZVGGNU

ВВЕДЕНИЕ

Высокая гидрофобность многих широко используемых полимеров (полиолефинов, ПЭТФ, поликапролактона, полилактида, ПТФЭ и других) зачастую ограничивает их практическое применение. В связи с этим в настоящее время большое внимание уделяется поискам способов гидрофилизации полимеров как к одному из направлений для модификации и получения новых полимерных материалов с улучшенными свойствами [1]. Например, для гидрофилизации ПП используют плазменную обработку [2], привитую полимеризацию [3], травление органическими растворителями и окислителями [4], а также введение гидрофильных добавок [5–8], в том числе с получением полимерных-полимерных систем, организованных в виде смесей, сеток и композитов. Большинство методов имеют свои ограничения и требуют особых условий. Так, для смешения через расплав

полиолефинов с ПВС приходится использовать пластификаторы, понижающие температуру плавления ПВС [9–11], а для предотвращения агрегации и фазового разделения компонентов необходимо введение в полимерную смесь компатабилизаторов (малеиновый ангидрид) или наночастиц [12].

В настоящей работе для решения этой сложной научной и технологической проблемы предлагается использовать явление крейзинга. Деформирование аморфных стеклообразных и кристаллических полимеров в физически активных жидких средах осуществляется по механизму крейзинга и сопровождается развитием фибрillлярно-пористой структуры наноразмерного уровня [13–15]. Крейзинг происходит при непрерывном заполнении формирующейся пористой структуры окружающей средой, поэтому растворенные в ней низко- и высокомолекулярные ве-

щества способны проникать в поры деформированного полимера с образованием нанокомпозитов после удаления летучей жидкой среды [16–18]. Поскольку смачиваемость композитов, полученных методом крейзинга, определяется гидрофобно-гидрофильным балансом его компонентов [18], можно предполагать, что введение гидрофильного ПВС в пористую матрицу ПП в процессе крейзинга приведет к гидрофилизации ПП.

Таким образом, целью данной работы было исследование возможности получения полимер-полимерных нанокомпозитов путем деформации пленок ПП в растворах ПВС, а также изучение структуры, теплофизических свойств и смачиваемости полученных материалов.

ЭКСПЕРИМЕНТАЛЬНАЯ ЧАСТЬ

В качестве полимерных матриц использовали промышленные пленки экструдированного ПП (Китай) толщиной 25 мкм и степенью кристалличности 45%, в качестве вводимого полимера ПВС марки 16/1 (Невинномысск, Россия), степень омыления 98–99%, динамическая вязкость 4%-ного раствора (14–17) $\times 10^3$ Па·с. Нанокомпозиты получали деформированием пленок ПП с размерами рабочей части 50 × 20 мм в водно-этанольных (3 : 2) полуразбавленных растворах ПВС (концентрация 3 и 11 мас. %) с постоянной скоростью 5.4 мм/мин. После вытяжки образцы протирали фильтровальной бумагой и сушили в изометрических условиях, не вынимая из зажимов растягивающего устройства, в струе сжатого воздуха и в вакуумном шкафу. Содержание ПВС определяли гравиметрически как отношение приращения массы Δm к массе образца после введения ПВС m_t : $\Delta m/m_t = \Delta m/(m_0 + \Delta m)$, где m_0 – начальная масса пленки ПП.

Пористость ПП оценивали по изменению геометрических размеров пленок после деформации в физически активных жидких средах до разных степеней вытяжки как отношение приращения объема ΔV после деформации ко всему объему образца: $W = \Delta V/(V_0 + \Delta V)$, где V_0 – начальный объем. Предельную пористость ПП вычисляли в предположении реализации механизма идеального крейзинга как отношение приращения объема, равного величине относительной деформации, к объему образца после деформации: $W = \varepsilon/(1 + \varepsilon)$.

Механические испытания проводили с постоянной скоростью 5 мм/мин на разрывной машине “Instron 4301”. Образцы вырубали в форме двухсторонних лопаток с размерами рабочей части 20 × 6 мм. Модуль упругости E вычисляли по на-

чальным участкам деформационных кривых как $E = \sigma/\varepsilon$, где σ – напряжение, которое вызывает упругую относительную деформацию ε .

Степень кристалличности полимеров определяли по формуле $\chi = [\Delta H/\Delta H_{100\%}] \times 100\%$ ($\Delta H_{100\%}$, равная 190 и 138.6 Дж/г, – теплота плавления идеального кристалла ПП и ПВС соответственно) [20]. Величину ΔH находили по данным ДСК (термоанализатор “TA 4000”, “Mettler”), масса образцов составляла 1–2 мг, скорость нагревания 10 град/мин от 20 до 270°C.

Структуру ПП исследовали с помощью атомно-силовой микроскопии на микроскопе “Solver-PRO-M” (“Нанотехнология МДТ”, Зеленоград).

Краевые углы смачивания измеряли методом “сидячей капли” для 5–7 капель на каждом образце. В качестве жидкой фазы использовали дезинионизированную воду. Объем капли составлял 4 мкл. Все эксперименты проводили при комнатной температуре.

РЕЗУЛЬТАТЫ И ИХ ОБСУЖДЕНИЕ

На рис. 1 приведены АСМ-изображения исходного и деформированного по механизму крейзинга ПП. На поверхности исходного ПП видны ламели, расположенные слоями, преимущественно ориентированными в перпендикулярном оси экструзии направлении (рис. 1а). Такие структуры известны в литературе как row-nucleated structure (роу-структуры) или слоевые ламellarные структуры [21]. После деформации по механизму крейзинга на АСМ-изображениях ПП появляются фибриллы, ориентированные длинными осями вдоль направления вытяжки, и щелевидные поры между ними. При сравнении изображений исходного и деформированного ПП видно, что крейзинг сопровождается раздвижением, фрагментацией ламелей и смещением фрагментов ламелей относительно друг друга (рис. 1б).

По профилям сечений, построенным вдоль оси экструзии и растяжения, как расстояние между вершинами ламелей измерена величина большого периода (рис. 1в), которая составило 29 ± 7 нм для исходного полимера и 74 ± 15 нм для ПП, деформированного на 200% по механизму крейзинга. Средняя величина расстояния между вершинами фибрилл (параметр, характеризующий сумму ширины поры и диаметра фибриллы, рис. 1в), измеренного по профилям сечений, построенным перпендикулярно оси растяжения, составила 26 ± 5 нм. Таким образом, в процессе деформации ПП по механизму крейзинга, согласно классификации ИЮПАК [22], происхо-

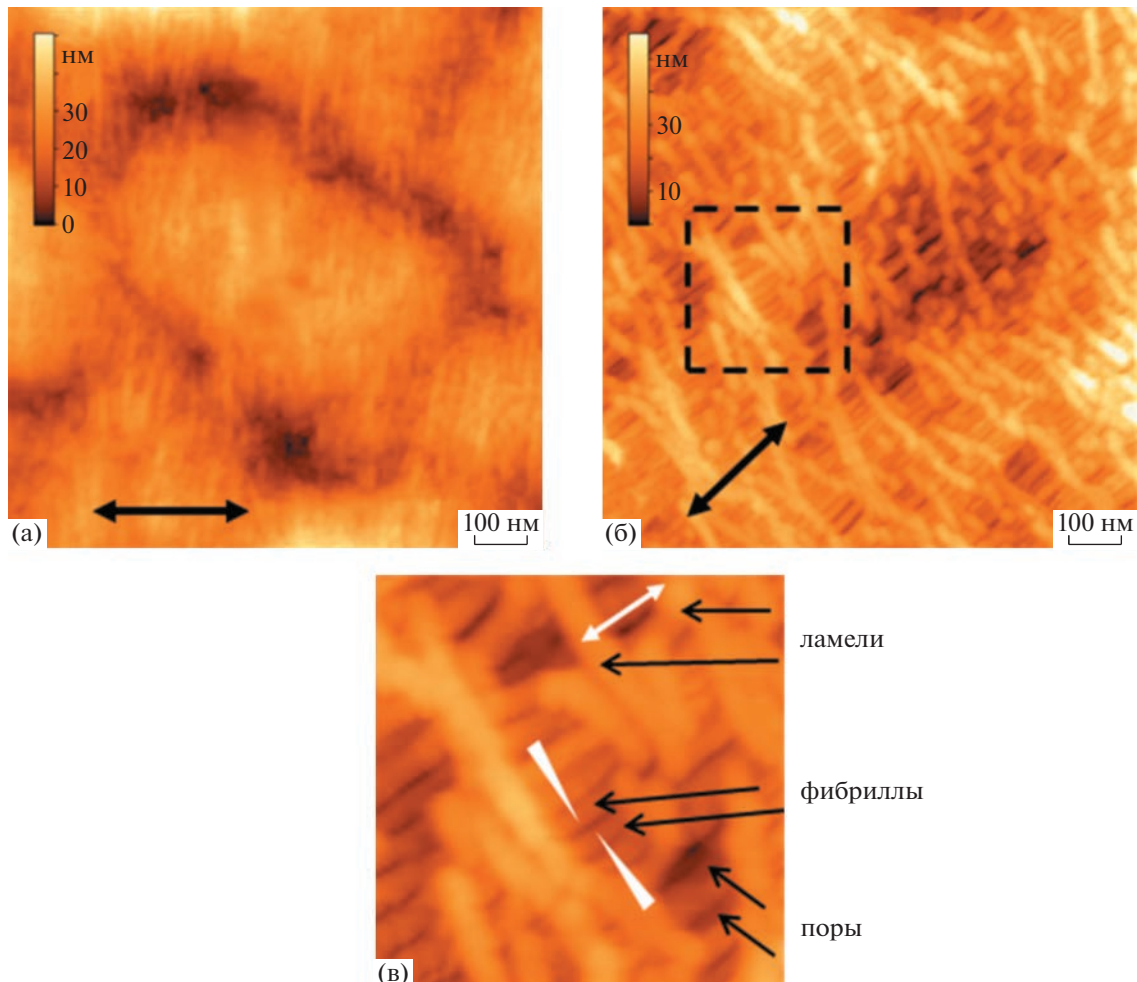


Рис. 1. ACM-изображения исходного (а) и деформированного на 200% по механизму крейзинга ПП (б); (в) – увеличенный кадр изображения (б). Ось экструзии и растяжения показаны стрелками; белыми стрелками указано измерение расстояния между вершинами соседних фибрill и большого периода как расстояния между вершинами ламелей. Цветные рисунки можно посмотреть в электронной версии.

дит формирование мезоразмерной пористой структуры, которая может служить матрицей для введения модифицирующих добавок и получения нанокомпозитов. Подробно деформация полиолефинов по механизму межкристаллитного крейзинга рассмотрена в работах [23–25].

Для деформирования пленок ПП и введения ПВС использовали водно-этанольную смесь, которая сочетает свойства растворителя ПВС (вода) и физически активной жидкой среды (этанол) по отношению к полиолефинам [15]. Очевидно, что содержание вводимого полимера будет зависеть от концентрации его раствора. Поскольку растворимость ПВС в воде ухудшается при добавлении этанола, а вода не является крейзующим агентом для ПП, было выбрано соотношение вода : спирт =

= 3 : 2, чтобы обеспечить реализацию крейзинга при разной, в том числе высокой, концентрации ПВС в растворе.

На рис. 2 представлены динамометрические кривые растяжения ПП на воздухе, в водно-этанольной смеси и в водно-этанольном растворе ПВС. Растяжение ПП в исследуемых жидким средах сопровождается снижением предела вынужденной эластичности с 37 до 31 МПа и модуля упругости с 650 до 450–500 МПа. Изменение механических характеристик полимера позволяет сделать вывод, что выбранные среды проявляют свойства физически активных жидкостей по отношению к ПП, т.е. оказывают адсорбционно-активное (понижающее поверхность энергию) и/или пластифицирующее действие, которое мо-

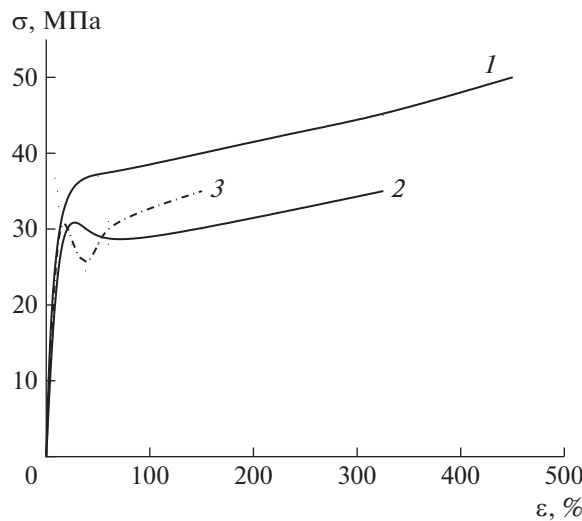


Рис. 2. Динамометрические кривые растяжения ПП вдоль оси экструзии на воздухе (1), начальные участки кривых деформирования в водно-этанольной среде (2) и в водно-этанольном растворе ПВС (концентрация 11 мас. %) (3).

жет проявляться под действием приложенного напряжения – явление набухания под действием напряжения [26–30]. Введение ПВС в водно-этанольную смесь увеличивает вязкость жидкой среды, что приводит к незначительному повышению напряжения стационарного деформирования по сравнению с деформацией в физически активных жидких средах (рис. 2).

Зависимость объемной пористости ПП от степени вытяжки в водно-этанольной смеси в качестве физически активной жидкой среды приведена на рис. 3. При сравнении теоретической (кривая 1) и экспериментальной (кривая 2) кривых видно, что они совпадают только на начальном участке (степени растяжения до 50%), далее, хотя экспериментальная кривая растет пропорционально увеличению степени вытяжки, объемная пористость отклоняется от идеальных значений, что связано с протеканием коагуляционных процессов в формирующейся структуре крейзов.

Таким образом, по данным механических испытаний, измерения объемной пористости и АСМ-исследований, растяжение пленок ПП в водно-этанольном растворе ПВС происходит по механизму крейзинга и сопровождается образованием мезопористой структуры.

В формирующуюся в процессе крейзинга пористую матрицу ПП из окружающего раствора проникают макромолекулы ПВС с образованием полимер-полимерного нанокомпозита после уда-

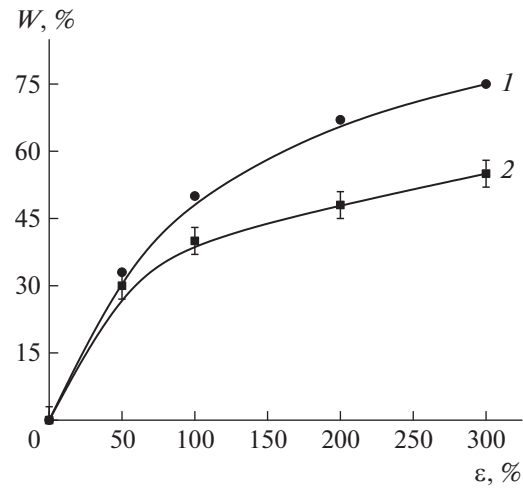


Рис. 3. Зависимость объемной пористости W от степени вытяжки ε пленок ПП: 1 – теоретическая кривая, 2 – растяжение в водно-этанольной среде.

ления летучей жидкой среды, что подтверждается данными по увеличению массы образцов (рис. 4). Содержание ПВС растет с повышением степени вытяжки ПП в соответствии с увеличением пористости (рис. 3) до 45 мас. % при степени вытяжки ПП 200–300% (рис. 4, кривая 1), и чем выше концентрация ПВС в растворе, тем выше содержание ПВС в нанокомпозите (рис. 4, кривые 1 и 2).

Содержание ПВС во всей области деформаций в 3–4 раза превышает значения, вычисленные в

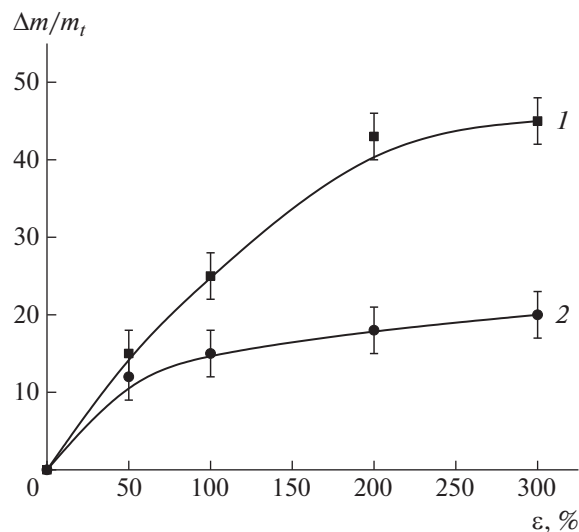


Рис. 4. Содержание ПВС в нанокомпозитах в зависимости от степени вытяжки ПП. Концентрация ПВС 11 (1) и 3 мас. % (2).

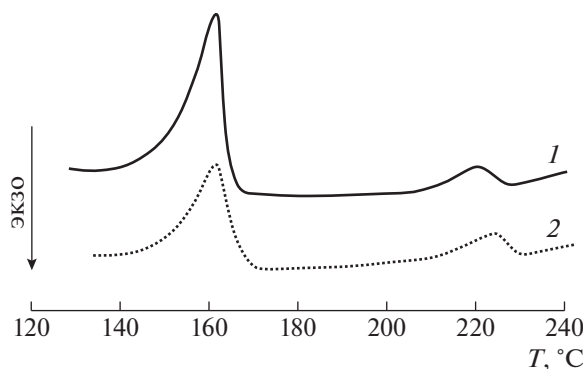


Рис. 5. Термограммы плавления нанокомпозитов ПП–ПВС на основе ПП со степенью вытяжки 200 (1) и 300% (2).

предположении заполнения пористой структуры раствором данной концентрации, что также наблюдали ранее в других работах, посвященных получению нанокомпозитов с неорганическим и органическим соединениями (красители, йод, витамин В₁₂, полиэтиленоксид) методом крейзинга [15, 17]. Такой эффект связан с большой удельной поверхностью (до 100 м²/г) и соответственно с высокими сорбционными свойствами полимеров, диспергированных на наноразмерные агрегаты в процессе крейзинга. Однако в силу сильных пленкообразующих свойств ПВС нельзя исключить, что некоторое количество ПВС остается в виде пленки на поверхности ПП.

Стенки пор ПП предотвращают агрегацию введенного полимера и макроскопическое расслоение фаз, которое происходит при попытке смешения полимеров через расплав или раствор, что позволяет получить однородный на наноразмерном уровне полимер–полимерный композит.

Для исследования фазового состояния компонентов методом ДСК изучали теплофизические свойства нанокомпозитов. На термограммах плавления ПП–ПВС наблюдаются два хорошо

различимых эндотермических пика плавления, что свидетельствует о фазовом разделении компонентов (рис. 5). Установлено, что температура плавления и степень кристалличности ПП матрицы не изменяются по сравнению с исходным ПП, однако для вводимого ПВС эти характеристики понижаются: в зависимости от степени вытяжки ПП температура плавления ПВС снизилась на 1–3 градуса, а степень кристалличности уменьшилась с 47% для ПВС в свободном состоянии до 12–14% в нанокомпозитах.

Полученные результаты согласуются с литературными данными [31–34] и связаны с пространственными ограничениями мезопористой полимерной матрицы, которые затрудняют процесс кристаллизации вводимого полимера. Известно, что кристаллизация в ограниченном наноразмерном объеме контролируется размерами и морфологией пространства, взаимодействием между матричным полимером и кристаллизующимся компонентом, а также соотношением между скоростями зарождения и роста кристаллитов [35]. В нанопористом пространстве скорость образования зародышей преобладает над скоростью их роста, что приводит к появлению кристаллитов меньшего размера по сравнению со “свободной” кристаллизацией. В ограниченном объеме по мере уменьшения размеров замкнутого пространства (например, диаметра пор), общая степень кристалличности уменьшается и, более того, кристаллизация вследствие пространственных затруднений может быть полностью подавлена [36].

ПП является гидрофобным полимером с краевым углом смачивания 98°–102°. Смачиваемость композитов определяется гидрофобностью/гидрофильтностью и соотношением его компонентов [19]. Введение гидрофильтного ПВС позволило эффективно гидрофилизовать матрицу ПП, и краевой угол смачивания композита ПП–ПВС составил 42° (рис. 6).

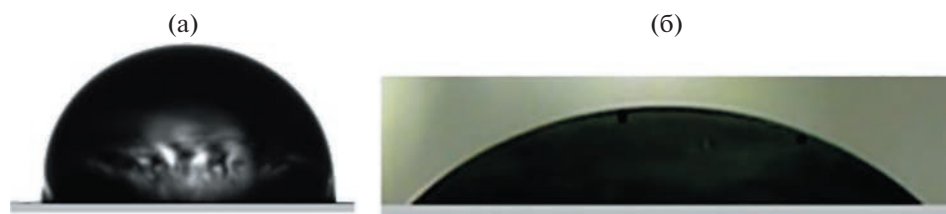


Рис. 6. Микрофотография капли воды на поверхности исходной пленки ПП (а) и нанокомпозита ПП–ПВС с содержанием ПВС 39 мас. % (б). Краевой угол смачивания 98° (а) и 42° (б).

ЗАКЛЮЧЕНИЕ

Таким образом, в работе установлено, что деформация пленок ПП в водно-этанольных растворах ПВС происходит по механизму крейзинга с формированием мезопористой структуры ПП, которая служит матрицей композита и позволяет ввести до 45 мас. % ПВС. Раствор ПВС однородно заполняет матрицу ПП, а стенки пор препятствуют агрегации ПВС после удаления летучей жидкой среды. Вследствие нанограницений мезопористой структуры ПП создаются затрудненные условия для кристаллизации введенного полиме-ра, и ПВС кристаллизуется в нанокомпозите с понижением степени кристалличности. Структура и степень растяжения матрицы ПП, а также концентрация ПВС в растворе дают возможность контролировать состав полученных нанокомпо-зитов. Введение гидрофильного ПВС позволило гидрофилизовать ПП со снижением краевого угла смачивания от 98° до 42°. Таким образом, крейзинг является эффективным способом получения новых полимер-полимерных нанокомпозитов на основе термодинамически нес-совместимых гидрофобных и гидрофильных полимеров.

Изменение гидрофобно-гидрофильного баланса дает возможность расширить область практического применения крупнотоннажного ПП в качестве материалов биомедицинского назначения, упаковочных, укрывных материалов и современных текстильных изделий, паропроницаемых материалов, фильтрационных мембран, селективных сорбентов и т.д. Гидрофилизация ПП с использованием явления крейзинга может рассматриваться как способ его модификации, переработки и вторичного использования.

Работа выполнена при финансовой поддержке Российского научного фонда (проект 23-23-00180).

СПИСОК ЛИТЕРАТУРЫ

1. Kasalkova N.S., Slepicka P., Kolska Z., Svorcik V. // Wetting and Wettability / Ed. by M. Aliofkhazraei. In-Tech. 2015. Ch. 12. P. 323.
2. Bhat N.V., Upadhyay D.J. // J. Appl. Polym. Sci. 2002. V. 86. P. 925.
3. Yun-Feng Yang, Yang Li, Qing-Lian Li, Ling-Shu Wan, Zhi-Kang Xu // J. Membr. Sci. 2010. V. 362. P. 255.
4. Апель П.Ю., Дмитриев С.Н., Кравец Л.И., Оганесян Ю.Ц. Пат. 2062642. Россия // Б.И. 1996. № 18.
5. Zhu S., Hirt D.E. // J. Vinyl Addit. Technol. 2007. V. 13. P. 57.
6. Molisak-Tolwinska H., Wencel A., Figaszewski Z. // J. Macromol. Sci. A. 1998. V. 35. P. 857.
7. Guo H., Ulbricht M. // J. Membr. Sci. 2010. V. 349. P. 312.
8. Yarysheva A.Y., Dolgova A.A., Yarysheva L.M., Arzhakova O.V. // Mendeleev Commun. 2020. V. 30. P. 507.
9. Jang J., Lee D.K. // Polymer. 2004. V. 45. P. 1599.
10. Stribeck N., Zeinolebadi F., Fakirov S., Bhattacharyya D., Botta S. // Sci. Technol. Adv. Mater. 2013. V. 14. P. 035006.
11. Dowan Kim, Jeyoung Jung, Su Il Park, Jongchul Seo // J. Appl. Polym. Sci. 2015. V. 132. P. 41985.
12. Xiang Yan, Cayla A., Devaux E., Salaün F. // Polymers. 2018 . V. 10. P. 1031.
13. Argon A. // The Physics of Deformation and Fracture of Polymers. Cambridge: Cambridge Univ. Press. 2013.
14. Kramer E. // Crazing in Polymers/Ed. by H.H. Kausch. Berlin; Heidelberg: Springer, 1983.
15. Volynskii A.L., Bakeev N.F. // Surface Phenomena in the Structural and Mechanical Behaviour of Solid Polymers. London; New York: CRC Press, Taylor & Francis, 2016.
16. Yarysheva A.Y., Khavpachev M.A., Bagrov D.V., Bakirov A.V., Efimov A.V., Trofimchuk E.S., Chvalun S.N. // Macromol. Mater. Eng. 2020. V. 12. P. 202000636.
17. Yarysheva A.Y., Bagrov D.V., Bakirov A.V., Tarasevich B.N., Grohovskaya T.E., Yarysheva L.Y., Chvalun S.N., Volynskii A.L. // Macromolecules. 2017. V. 50. P. 2881.
18. Yarysheva A.Y., Bagrov D.V., Rukhlya E.G., Yarysheva L.M., Volynskii A.L., Bakeev N.F. // Polymer Science A. 2012. V. 54. № 10. P. 779.
19. Yarysheva A.Y., Yarysheva L.M., Drozdov F.V., Arzhakova O.V., Muzaferov A.M. // Chinese J. Polym. Sci. Engl. Ed. 2022. V. 40. P. 1307.
20. Yarysheva A.Y., Bakirov A.V., Yarysheva L.M., Arzhakov M.S., Arzhakova O.V., Chvalun S.N. // J. Appl. Polym. Sci. 2022. V. 139. P.e52424.
21. Keller A., Machin M.J. // J. Macromol. Sci., Phys. 1967. V. 1. P. 41.
22. IUPAC Manual of Symbols and Terminology // Pure Appl. Chem. 1972. V. 31. P. 577.
23. Bagrov D.V., Yarysheva A.Y., Rukhlya E.G., Yarysheva L.M., Volynskii A.L., Bakeev N.F. // J. Microsc. 2014. V. 253. P. 151.
24. Yarysheva A.Y., Bagrov D.V., Bakirov A.V., Yarysheva L.M., Chvalun S.N., Volynskii A.L. // Eur. Polym. J. 2018. V. 100. P. 233.
25. Yarysheva A., Rukhlya E., Yarysheva L., Bagrov D., Volynskii A., Bakeev N.F. // Eur. Polym. J. 2015. V. 66. P. 458.
26. Clarence J.W., Holly F. // J. Polym. Sci., Polym. Phys. 1996. V. 34. P. 75.
27. Zhou Q.Y., Argon A.S., Cohen R.E. // Polymer. 2001. V. 42. P. 613.
28. Kambour R.P. // J. Polym. Sci. Macromol. Rev. 1973. V. 7. P. 1.
29. Kefalas V.A. // J. Appl. Polym. Sci. 1995. V. 58. P. 711.

30. Ребиндер П.А., Щукин Е.Д. // Успехи физ. наук. 1972. Т. 108. № 9. С. 342.
31. Adsorption and Phase Behaviour in Nanochannels and Nanotubes // Ed. by L.J. Dunne, G. Manos. Springer Science+Business Media B.V., 2010.
32. Yarysheva A.Y., Sitnov N.A., Bakirov A.V., Yarysheva L.M., Arzhakov M.S., Arzhakova O.V., Chvalun S.N. // Polymer Science A. 2021. V. 63. № 6. P. 793.
33. Schönherr H., Frank C.W. // Macromolecules. 2003. V. 36. № 4. P. 1199.
34. Michell R.M., Lorenzo A.T., Müller A.J., Lin M.-C., Chen H.-L., Blaszczyk-Lezak I., Martín J., Mijangos C. // Macromolecules. 2012. V. 45. P. 1517.
35. Мандельберн Л. Кристаллизация полимеров. М.; Л.: Химия, 1966.
36. Thitisomboon W., Gu Q., Weng Lu-Tao, Gao P. // Polymer. 2021. V. 217. P. 123449.